

УДК 531/534: [57+61]

АСИМПТОТИЧЕСКОЕ ИССЛЕДОВАНИЕ ТРАНСПОРТНЫХ ПРОЦЕССОВ В КОРНЕ РАСТЕНИЯ

Е.Н. Юдина

Институт механики Московского государственного университета им. М.В. Ломоносова, Россия, 117899, Москва, Мичуринский пр., 1, e-mail: enyudina@gmail.com

Аннотация. На основе континуальной математической модели проведено асимптотическое исследование одномерной стационарной задачи о радиальном транспорте воды и растворенного в ней химического компонента в корне. Модель основана на представлении растительной ткани в виде твердого каркаса, заполненного двухфазной жидкостью (внеклеточной и внутриклеточной). Обе фазы содержат растворенное вещество. Рассматривается случай отсутствия барьера для перемещения внеклеточной жидкой фазы. Продемонстрирована высокая степень совпадения численного и асимптотического решений, что подтверждает пригодность используемого численного метода для рассматриваемой задачи.

Ключевые слова: асимптотические методы, математические модели, транспортные процессы, многофазные среды.

ВВЕДЕНИЕ

Модель транспорта воды и растворенных в ней веществ через неспециализированную растительную ткань необходима для обоснованного анализа различных гипотез об организации транспорта в корне и листе. Такой транспорт включает в себя непосредственный транспорт из клетки в клетку через соединительные канальцы в клеточной стенке (симпластный транспорт) и движение воды по внеклеточному пространству (апопластный транспорт).

Большинство авторов используют при решении частных задач упрощенные компартментальные модели, не имеющие отчетливого физического смысла и плохо поддающиеся обобщению [5]. В [6] развит континуальный подход применительно к радиальному транспорту в корне. Проведено численное исследование этой континуальной модели, в результате которого было замечено, что модель содержит несколько малых параметров, в результате чего в решении появляются пограничные слои. В связи с этим в предлагаемой работе проведен асимптотический анализ модели, который позволил оценить отличие численного решения от асимптотического и провести контроль численного метода.

ПОСТАНОВКА ЗАДАЧИ

Аналогично работам [1, 3, 4, 7] будем рассматривать растительную ткань как пористую сплошную среду. Пористая среда состоит из двух жидких фаз, первая из которых находится во внутриклеточном пространстве, вторая – во внеклеточном, фильтрующихся через недеформируемый твердый каркас. Пусть внутриклеточная жидкость перемещается со скоростью U , а внеклеточная со скоростью V .

Давление внутриклеточной жидкости обозначим P_1 , внеклеточной жидкости – P_2 . Долю внутриклеточной жидкости в среде будем характеризовать объемной концентрацией α_1 , а внеклеточной жидкости – объемной концентрацией α_2 , которые будем полагать постоянными. Для размазанных плотностей внутриклеточной и внеклеточной жидких фаз получаем выражения: $\rho_1 = \rho_1^* \alpha_1$, $\rho_2 = \rho_2^* \alpha_2$, где через ρ_1^* , ρ_2^* обозначены истинные плотности этих фаз, которые считаем постоянными и равными одна другой. Предполагается, что в каждой фазе растворен обобщенный низкомолекулярный компонент с массовыми концентрациями C_1 и C_2 соответственно, способный перемещаться в среде как активными механизмами переноса через мембранны, так и путем конвекции и диффузии. Во внутриклеточной среде присутствие этого компонента ведет к возникновению осмотической силы, связанной с перемещением жидкости через распределенные клеточные мембранны.

Как показано в работе [7], важное значение играет наличие локализованного барьера (поясков Каспари) для перемещения жидкости и солей во внеклеточном пространстве. Наличие этого барьера приводит к появлению дополнительных пограничных слоев, и задача существенно усложняется. Поскольку нашей целью является проверка правильности численного метода, то будем решать задачу в отсутствии барьера. При написании уравнений и граничных условий следуем работе [7].

Рассмотрим одномерное течение на отрезке $[0, l_x]$, т.е. пористая среда занимает область $0 \leq x \leq l_x$, где $x = 0$ – координата раздела среды с окружающей средой и $x = l_x$ – координата раздела среды с центральной областью, содержащей сосуды ксилемы.

$$\begin{aligned} \alpha_1 \rho \frac{dU}{dx} &= L_p ((P_2 - P_1) - \sigma_0 \tilde{R}(C_2 - C_1)), \\ \alpha_2 \rho \frac{dV}{dx} &= -L_p ((P_2 - P_1) - \sigma_0 \tilde{R}(C_2 - C_1)), \\ \alpha_1 \frac{dP_1}{dx} &= -kU + \gamma \frac{dC_1}{dx}, \\ \alpha_2 \frac{dP_2}{dx} &= -mV, \\ \alpha_1 \rho \frac{d(\xi C_1 U)}{dx} &= \lambda(C_2 - C_1) + J_A + D_1 \alpha_1 \rho \frac{d^2 C_1}{dx^2}, \\ \alpha_2 \rho \frac{d(C_2 V)}{dx} &= -\lambda(C_2 - C_1) - J_A + D_2 \alpha_2 \rho \frac{d^2 C_2}{dx^2}. \end{aligned}$$

Здесь $\tilde{R} = \rho R T / \mu_s$ (ρ – плотность жидкости; R – универсальная газовая постоянная; T – абсолютная температура; μ_s – молярная масса растворенного вещества); σ_0 – коэффициент отражения мембранны; L_p – объемный коэффициент гидравлической проницаемости мембранны; λ – коэффициент проницаемости мембранны для растворенных веществ; J_A – активный поток компонента; D_1 и D_2 – коэффициенты диффузии растворенного вещества во внутриклеточной и внеклеточной средах; k / α_1 и m / α_2 – коэффициенты гидравлических сопротивлений (обратные к коэффициентам гидравлических проводимостей); ξ и γ / α_1 – коэффициенты, характеризующие взаимодействие клеточной стенки с растворенным веществом.

Рассмотрим следующие граничные условия [7]. Будем считать, что концентрация внешнего раствора на входе ($x = 0$), а также давления во внешней среде на входе и на выходе ($x = l_x$) заданы. Полагая, что внеклеточная жидкость имеет непосредственный контакт с внешней средой и сосудами ксилемы, а поступление жидкости и растворенных веществ во внутриклеточную среду осуществляется путем массообмена только с внеклеточной жидкостью, ставим следующие условия на внешней и внутренней границах:

$$P_2(0) = P_{20}, \quad U(0) = 0, \quad \left. \frac{dC_1}{dx} \right|_{x=0} = 0, \quad C_2(0) = C_{20},$$

$$P_2(l_x) = P_{2x}, \quad U(l_x) = 0, \quad \left. \frac{dC_1}{dx} \right|_{x=l_x} = 0, \quad \left. \frac{dC_2}{dx} \right|_{x=l_x} = 0.$$

Последнее условие означает чисто конвективный унос растворенного вещества в сосуды ксилемы.

Перейдем к безразмерным переменным. В качестве характерных значений концентрации, давления, скорости и координаты выберем следующие величины:

$$c_* = C_{2e} + \frac{J_A}{\lambda}, \quad p_* = c_* \tilde{R}, \quad v_* = \frac{\gamma(c_* - C_{2e})}{k l_x}, \quad l_* = l_x.$$

Введем безразмерные величины:

$$A_1 = \frac{\alpha_1 \rho v_*}{L_p l_* c_* \tilde{R}}, \quad A_2 = \frac{\alpha_2 \rho v_*}{L_p l_* c_* \tilde{R}}, \quad \lambda_1 = \lambda \frac{l_*}{\rho \alpha_1 v_*}, \quad \lambda_2 = \lambda \frac{l_*}{\rho \alpha_2 v_*},$$

$$J_1 = J_A \frac{l_*}{\rho \alpha_1 v_* c_*}, \quad J_2 = J_A \frac{l_*}{\rho \alpha_2 v_* c_*}, \quad \tilde{D}_1 = \frac{D_1}{v_* l_*}, \quad \tilde{D}_2 = \frac{D_2}{v_* l_*},$$

$$\tilde{k} = \frac{k v_* l_*}{\alpha_1 p_*}, \quad \tilde{m} = \frac{m v_* l_*}{\alpha_2 p_*}, \quad \zeta = \frac{\gamma}{\alpha_1 c_* \tilde{R}}.$$

В безразмерном виде система уравнений и граничных условий примет следующий вид:

$$A_1 \frac{du}{dx} = P_2 - P_1 - \sigma_0 (C_2 - C_1),$$

$$A_2 \frac{dv}{dx} = -P_2 + P_1 + \sigma_0 (C_2 - C_1),$$

$$\frac{dP_1}{dx} = -ku + \zeta \frac{dC_1}{dx},$$

$$\frac{dP_2}{dx} = -mv,$$

$$\frac{d(\xi C_1 u)}{dx} = \lambda_1 (C_2 - C_1) + J_1 + D_1 \frac{d^2 C_1}{dx^2},$$

$$\frac{d(C_2 v)}{dx} = -\lambda_2 (C_2 - C_1) - J_2 + D_2 \frac{d^2 C_2}{dx^2},$$

$$x = 0 : P_2 = 0, \quad u = 0, \quad \left. \frac{dC_1}{dx} \right|_{x=0} = 0, \quad C_2 = C_{20},$$

$$x = 1 : P_2 = P_{21}, \quad u = 0, \quad \left. \frac{dC_1}{dx} \right|_{x=1} = 0, \quad \left. \frac{dC_2}{dx} \right|_{x=1} = 0.$$

Аналогичная система была решена численно в работе [7]. Для этого была построена консервативно-нейвная схема, которая решалась методом итераций. На каждой итерации использовался метод прогонки. Кроме того, в работе [7] были сделаны оценки, которые позволяют принять следующие выражения для коэффициентов:

$$A_1 = \varepsilon^4, \quad A_2 = \varepsilon^4, \quad \frac{D_1}{J_1} = \varepsilon^3, \quad \frac{1}{D_2} = \varepsilon^4, \quad \xi = \varepsilon^3, \quad \sigma_0 = 1,$$

где ε – малый параметр.

Получаем систему уравнений, для которой будем искать асимптотическое решение

$$\begin{aligned} \varepsilon^4 u' &= P_2 - P_1 - (C_2 - C_1), \\ \varepsilon^4 v' &= -P_2 + P_1 + (C_2 - C_1), \\ P_1' &= -ku + \zeta C_1', \\ v &= -\frac{1}{m} P_2', \\ \varepsilon^3 (C_1 u)' &= \lambda_1 (C_2 - C_1) + J_1 + \varepsilon^3 C_1'', \\ \varepsilon^4 (C_2 v)' &= -\lambda_2 (C_2 - C_1) - J_2 + C_2'' \end{aligned} \tag{1}$$

со следующими граничными условиями:

$$\begin{aligned} u(0) &= 0, \quad P_2(0) = 0, \quad C_2(0) = C_{20}, \quad C_1'(0) = 0, \\ u(1) &= 0, \quad P_2(1) = P_{21}, \quad C_2'(1) = 0, \quad C_1'(1) = 0. \end{aligned} \tag{2}$$

Поскольку коэффициент ζ близок к 1, то множитель $1 - \zeta \sim O(\varepsilon)$.

АСИМПТОТИЧЕСКОЕ РЕШЕНИЕ

Приведем систему уравнений (1) к системе двух уравнений, исключая из нее переменные P_1 , u , v , C_2 . Получим следующие уравнения для внеклеточного давления P_2 и внутриклеточной концентрации C_1 :

$$\begin{aligned} &\frac{\varepsilon^3}{m} (C_1 P_2')' - \varepsilon^3 M_1 C_1' = \\ &= \lambda_1 \left(-\frac{\varepsilon^4}{m} P_2'' + \left(1 + \frac{k}{m} \right) P_2 - \zeta C_1 - k M_1 x + M_2 \right) + J_1 + \varepsilon^3 C_1'', \\ &- \frac{\varepsilon^4}{m} \left(P_2' \left(-\frac{\varepsilon^4}{m} P_2'' + \left(1 + \frac{k}{m} \right) P_2 + (1 - \zeta) C_1 - k M_1 x + M_2 \right) \right)' = \\ &= -\lambda_2 \left(-\frac{\varepsilon^4}{m} P_2'' + \left(1 + \frac{k}{m} \right) P_2 - \zeta C_1 - k M_1 x + M_2 \right) - J_2 + \\ &+ \left(-\frac{\varepsilon^4}{m} P_2^{(IV)} + \left(1 + \frac{k}{m} \right) P_2'' + (1 - \zeta) C_1'' \right). \end{aligned} \tag{3}$$

Ввиду того что при получении системы дважды выполнялось интегрирование, уравнения включают две произвольных константы M_1 и M_2 . Система уравнений (3) представляет замкнутую систему относительно переменных C_1 и P_2 . Остальные неизвестные могут быть легко получены из исходной системы (1) при известных C_1 и P_2 .

Границные условия (2) в переменных C_1 и P_2 имеют следующий вид:

$$\begin{aligned} P_2'(0) &= mM_1(\varepsilon), \quad P_2(0) = 0, \quad P_2''(0) = \frac{m}{\varepsilon^4}(-C_{20} + M_2(\varepsilon) + (1-\zeta)C_1(0)), \quad C_1'(0) = 0, \\ P_2'(1) &= mM_1(\varepsilon), \quad P_2(1) = P_{21}, \quad \varepsilon^4 P_2'''(1) - m^2 M_1(\varepsilon) = 0, \quad C_1'(1) = 0. \end{aligned} \quad (4)$$

В связи с наличием в задаче малых параметров будем рассматривать асимптотическое поведение решения.

Внешнее решение будем искать в следующем виде:

$$\begin{aligned} P_2(x) &= P_2^0(x) + \varepsilon^2 P_2^1(x), \\ C_1(x) &= C_1^0(x). \end{aligned} \quad (5)$$

При написании соотношений (5) принято допущение о структуре решения вблизи точек $x = 0$ и $x = 1$, правомерность которого будет обоснована ниже.

Подставим решение (5) в систему (3). Воспользуемся тем фактом, что в исследуемой задаче в силу обезразмеривания выполнено соотношение $\lambda_1 J_2 = \lambda_2 J_1$, что значительно упрощает выкладки. Окончательно получаем:

$$\begin{aligned} P_2 &= \frac{m}{k+m} \left((\zeta E_{01} + kM_1)x + \zeta E_{02} - M_2 - \frac{J_1}{\lambda_1} \right) + \varepsilon^2 (E_{11}x + E_{12}), \\ C_1 &= E_{01}x + E_{02}, \end{aligned} \quad (6)$$

где $E_{01}, E_{02}, E_{11}, E_{12}$ – подлежащие определению константы.

Теперь построим решение вблизи границ $x = 0$ и $x = 1$. Проведём анализ граничных условий, чтобы определить, как ведут себя производные.

Рассмотрим сначала граничные условия при $x = 1$. Имеем

$$P_2'(1) = mM_1(\varepsilon) = O(1), \quad P_2'''(1) = \frac{m^2 M_1}{\varepsilon^4}. \quad (7)$$

Найдем толщину пограничного слоя вблизи $x = 1$. Исходя из первого соотношения в (7) ищем решение в виде

$$P_2 = P_{21} - \delta \tilde{P}_2 \left(\frac{1-x}{\delta} \right), \quad \text{где } \delta = \delta(\varepsilon) \ll 1.$$

Из второго соотношения в условии (7) получаем, что $\delta = \varepsilon^2$.

Как видно из оценки, во втором уравнении системы (3) не остаётся членов, содержащих C_1 , что позволяет найти P_2 из этого уравнения, а затем, используя это решение, найти C_1 из первого уравнения системы (3).

Сделаем замену переменных $\delta = \varepsilon^2$, $\tilde{x} = \frac{1-x}{\varepsilon^2}$ и $\tilde{P}_2(\tilde{x}) = \frac{P_{21} - P_2(x)}{\varepsilon^2}$. Из второго уравнения системы (3) получаем:

$$\frac{1}{m} \tilde{P}_2^{(IV)} - \left(1 + \frac{k}{m} \right) \tilde{P}_2'' = 0.$$

Решение этого уравнения имеет вид

$$\tilde{P}_2 = \alpha_0 e^{-\tilde{x}\sqrt{m+k}} + \alpha_1 e^{\tilde{x}\sqrt{m+k}} + \alpha_2 \tilde{x} + \alpha_3,$$

где $\alpha_0, \alpha_1, \alpha_2, \alpha_3$ – константы, подлежащие определению. Коэффициент $\alpha_1 = 0$ находим из условия срашивания с внешним решением [2] для P_2 из (6). С учётом граничного условия $P_2(1) = P_{21}$ имеем следующее решение в пограничном слое вблизи $x = 1$:

$$P_2 = P_{21} - \alpha_2(1-x) - \varepsilon^2 \alpha_0 \left(e^{-\sqrt{m+k}(1-x)/\varepsilon^2} - 1 \right). \quad (8)$$

Из граничных условий (7) имеем:

$$M_1 = \frac{1}{m}(\alpha_2 - \alpha_0 \sqrt{m+k}), \quad M_1 = \frac{\alpha_0}{m^2} (m+k)^{3/2}. \quad (9)$$

Аналогично в пограничном слое вблизи $x = 0$ решение ищем в виде

$$P_2 = \delta \tilde{P}_2 \left(\frac{x}{\delta} \right),$$

где $\delta = \varepsilon^2$.

С учетом граничного условия $P_2(0) = 0$ получаем

$$P_2 = \beta_2 x + \varepsilon^2 \beta_0 \left(e^{-\sqrt{m+k}x/\varepsilon^2} - 1 \right), \quad (10)$$

где β_0, β_2 – константы, подлежащие определению.

Из остальных граничных условий (7) при $x = 0$ следует:

$$M_1 = \frac{1}{m}(\beta_2 - \beta_0 \sqrt{m+k}), \quad M_2 = C_{20} + \varepsilon^2 \beta_0 \frac{m+k}{m} - (1-\zeta)C_1(0). \quad (11)$$

Из срашивания (10) с внешним решением для P_2 из (6) на границе $x = 0$ получаем:

$$\beta_2 = \frac{m}{m+k} (\zeta E_{01} + k M_1),$$

$$0 = \zeta E_{02} - M_2 - \frac{J_1}{\lambda_1},$$

$$-\beta_0 = E_{12}.$$

Из срашивания (8) с внешним решением для P_2 из (6) на границе $x = 1$ имеем:

$$\alpha_2 = \frac{m}{m+k} (\zeta E_{01} + k M_1),$$

$$P_{21} - \alpha_2 = \frac{m}{m+k} \left(\zeta E_{02} - M_2 - \frac{J_1}{\lambda_1} \right),$$

$$\alpha_0 = E_{11} + E_{12}.$$

Используя полученные выше соотношения, а также соотношения (9) и (11), находим

$$\begin{aligned}\alpha_0 &= -P_{21} \frac{m}{k\sqrt{m+k}}, & \alpha_2 &= P_{21}, & \beta_0 &= -P_{21} \frac{m}{k\sqrt{m+k}}, & \beta_2 &= P_{21}, \\ E_{01} &= 0, & E_{02} &= \frac{J_1}{\lambda_1 \zeta} + \frac{C_{20}}{\zeta} - \frac{1-\zeta}{\zeta} C_1(0) - \varepsilon^2 \frac{P_{21} \sqrt{m+k}}{\zeta k}, \\ E_{11} &= -2 \frac{P_{21} m}{k\sqrt{k+m}}, & E_{12} &= \frac{P_{21} m}{k\sqrt{k+m}}, \\ M_1 &= P_{21} \frac{m+k}{mk}, & M_2 &= C_{20} - (1-\zeta) C_1(0) - \varepsilon^2 \frac{\sqrt{m+k}}{k} P_{21}.\end{aligned}$$

Выпишем равномерно пригодное решение [2] для P_2 :

$$P_2(x) = P_{21}x - \varepsilon^2 \frac{P_{21}m}{k\sqrt{m+k}} \left(2x + e^{-\sqrt{m+k} \cdot x/\varepsilon^2} - e^{\sqrt{m+k}(x-1)/\varepsilon^2} - 1 \right). \quad (12)$$

Теперь, используя решение (12) для P_2 , найдём решение для C_1 . Для этого подставим полученное решение в первое уравнение системы (3):

$$\begin{aligned}\frac{P_{21}}{k} \varepsilon^3 \left[e^{-\sqrt{m+k} \cdot x/\varepsilon^2} + e^{-\sqrt{m+k}(1-x)/\varepsilon^2} - \varepsilon^2 \frac{2}{\sqrt{m+k}} - 1 \right] C_1' + \\ + \varepsilon P_{21} \frac{\sqrt{m+k}}{k} \left(-e^{-\sqrt{m+k} \cdot x/\varepsilon^2} + e^{-\sqrt{m+k}(1-x)/\varepsilon^2} \right) C_1 = \\ = \varepsilon^3 C_1'' - \lambda_1 \zeta C_1 - \varepsilon^2 \lambda_1 P_{21} \frac{\sqrt{m+k}}{k} 2x + \lambda_1 C_{20} + J_1.\end{aligned} \quad (13)$$

Рассмотрим следующее решение уравнения (13):

$$C_1 = \frac{C_{20}}{\zeta} + \frac{J_1}{\lambda_1 \zeta} + o(1). \quad (14)$$

Следующее приближение не ищем, так как решение (14) удовлетворяет граничным условиям для C_1 . Таким образом допущение (5) о структуре внешнего решения оправдано.

Отсюда найдем M_2 :

$$M_2 = C_{20} - \frac{1-\zeta}{\zeta} \left(C_{20} + \frac{J_1}{\lambda_1} \right) - \varepsilon^2 P_{21} \frac{\sqrt{m+k}}{k}.$$

Получаем решение для u , v , P_1 , C_2 :

$$\begin{aligned}u &= \frac{P_{21}}{m} + \frac{P_{21}}{k} \left(e^{-\sqrt{m+k} \cdot x/\varepsilon^2} + e^{\sqrt{m+k}(x-1)/\varepsilon^2} \right) - \frac{P_{21}(m+k)}{mk} - 2\varepsilon^2 \frac{P_{21}}{k\sqrt{m+k}}, \\ v &= -\frac{P_{21}}{m} - \frac{P_{21}}{k} \left(e^{-\sqrt{m+k} \cdot x/\varepsilon^2} + e^{\sqrt{m+k}(x-1)/\varepsilon^2} \right) + 2\varepsilon^2 \frac{P_{21}}{k\sqrt{m+k}}, \\ P_1 &= P_{21}x - C_{20} \left(1 - \frac{1}{\zeta} \right) + \frac{J_1}{\lambda_1 \zeta} + \varepsilon^2 \frac{P_{21}}{\sqrt{m+k}} \left(e^{-\sqrt{m+k} \cdot x/\varepsilon^2} - e^{\sqrt{m+k}(x-1)/\varepsilon^2} + 2x + \frac{m}{k} \right), \\ C_2 &= C_{20} - 2\varepsilon^2 \frac{P_{21} \sqrt{m+k}}{k} x.\end{aligned} \quad (15)$$

Анализ асимптотического решения (12), (14), (15) показывает, что структура функций в пограничных слоях определяется безразмерными коэффициентами гидравлических сопротивлений m и k . Все параметры модели входят в асимптотическое решение: таким образом, модель не переопределена.

СРАВНЕНИЕ АСИМПТОТИЧЕСКОГО И ЧИСЛЕННОГО РЕШЕНИЙ

Результаты сравнения представлены для следующих значений параметров, соответствующих оценкам, данным в статье [7]:

$$\lambda_1 = 2; \quad \lambda_2 = 0,052; \quad J_1 = 1; \quad J_2 = 0,026; \quad k = 0,44; \quad m = 1; \quad \zeta = 1; \quad \varepsilon = 0,1.$$

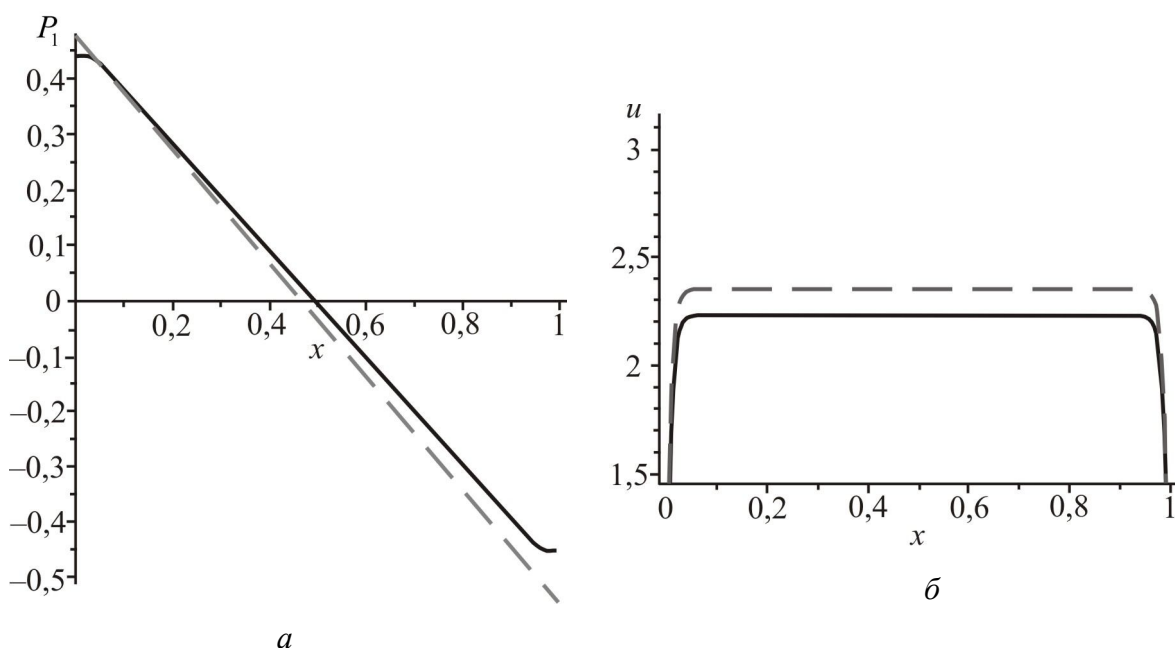


Рис. Сравнение распределений внутриклеточного давления (а) и внутриклеточной скорости (б) (сплошная линия – численное решение, пунктирная – асимптотическое)

На рисунке приведены результаты численного расчета и асимптотического анализа для внутриклеточного давления P_1 и внутриклеточной скорости u . Из графиков видно, что решения отличаются между собой не более, чем на ε . Результаты для внеклеточного давления P_2 , внеклеточной скорости v , внутриклеточной и внеклеточной концентраций C_1 и C_2 не приводятся, так как численное и асимптотическое решения совпадают с графической точностью.

ЗАКЛЮЧЕНИЕ

Найдено асимптотическое решение одномерной стационарной задачи о радиальном транспорте воды и растворенного в ней химического компонента в корне в предположении отсутствия барьера для перемещения внеклеточной жидкой фазы. Продемонстрирована высокая степень совпадения численного и асимптотического решений, что свидетельствует о корректности асимптотического подхода и подтверждает пригодность используемого численного метода для рассматриваемой задачи.

БЛАГОДАРНОСТИ

Работа выполнена при поддержке гранта РФФИ № 11-01-00774. Автор выражает благодарность А.В. Аксенову за внимание к работе.

СПИСОК ЛИТЕРАТУРЫ

1. Логвенков С.А., Штейн А.А. Компартментальная модель поглощения воды корнями растения с учетом процессов на клеточном уровне // Российский журнал биомеханики. – 2008. – Т. 12, № 4 (42). – С. 18–32.
2. Найфе А.Х. Методы возмущений. – М.: Наука, 1986. – 454 с.
3. Штейн А.А., Юдина Е.Н. Математическая модель растущей растительной ткани как трехфазной деформируемой среды // Российский журнал биомеханики. – 2011. – Т. 15, № 1 (51). – С. 42–51.
4. Юдина Е.Н. Численное и аналитическое исследование радиального массопереноса в корне растения // Труды конференции-конкурса молодых ученых, 14–16 октября 2009 г. – М.: Изд-во Моск. ун-та, 2010. – С. 350–356.
5. Murphy R. Some compartmental models of the root: steady-state behavior // J. Theor. Biol. – 2000. – Vol. 207. – P. 557–576.
6. Stein A.A., Logvenkov S.A., Chalyuk A.T. Mathematical modeling of the plant root as a water-pumping cellular system // Mathematical Modelling & Computing in Biology and Medicine / ed. V. Capasso. – Bologna: Soc. Ed. Esculapio, 2003. – P. 206–212.
7. Stein A.A., Logvenkov S.A., Yudina E.N. Continual modeling of water uptake by plant roots // 6th Plant Biomechanics Conference, November 16–21, 2009. – Cayenne, 2009. – P. 140–147.

ASYMPTOTIC ANALYSIS OF TRANSPORT PROCESSES IN THE PLANT ROOT

E.N. Yudina (Moscow, Russia)

The one-dimensional stationary problem of the radial transport of water and a chemical component dissolved in it across the root is solved using asymptotical analysis based on a continuum mathematical model. The model represents the plant tissue as a solid framework filled with a two-phase liquid (extracellular and intracellular). Both phases contain a solute. The case of the absence of a barrier impermeable to the extracellular fluid phase (Casparyan bands) is considered. Comparison of the numerical and asymptotic solutions demonstrates a high degree of coincidence, which confirms the applicability of the numerical method used to this problem.

Key words: asymptotical methods, mathematical models, transport processes, multiphase media.

Получено 19 апреля 2012